

УДК 517.9

## УГЛОВЫЕ ОСОБЕННОСТИ ФРЕДГОЛЬМОВЫХ ФУНКЦИОНАЛОВ<sup>1</sup>

© 2003 А. В. Гнездилов\*, Ю. И. Сапронов, О.В. Швырёва

\*Военный институт радиоэлектроники  
Воронежский государственный университет

Изложены результаты анализа новых типов угловых особенностей фредгольмова функционала на банаховом многообразии (особенностей в точке края, заданного ограничением в виде неравенств  $g_k \geq 0$ ,  $k = 1, \dots, m$ ). Исследования основаны на методе конечномерной редукции и стандартных подходах теории особенностей гладких функций, связанных с использованием диаграмм Ньютона, нормальных форм особенностей, версальных деформаций и т.п. Получены описания каустик и *bif*-раскладов рассмотренных особенностей. Результаты применены к задаче о посткритических формах равновесий упругого стержня при наличии интегральных ограничителей в виде неравенств.

### Введение

Развитие аналитических и топологических методов для изучения поведения гладких функционалов вблизи угловых особых точек края банахова многообразия представляет интерес как для теории особенностей гладких функционалов, так и для «соседних» областей науки — теории управления, теории фазовых переходов и т.п.

Угловые особенности функций на конечномерных многообразиях были введены Д. Сирсом [1] как обобщение краевых особенностей, ранее введенных и изученных В. И. Арнольдом [2], [3]. Д. Сирсма установил при этом, что список простых угловых особенностей получается вложением списка простых краевых особенностей.

Среди унимодальных угловых особенностей имеются такие, которые не имеют прямых аналогов в краевом случае (например, особенность  $x^2 + y^2 + axu$  в вершине положительного квадранта на координатной плоскости). Более сложные примеры угловых особенностей (высокой модальности) и их приложений были рассмотрены в [4].

В [5] дана полная классификация *bif*-раскладов в полурегулярных точках минимума на вершинах трехгранных углов, полученная при решении задачи о ветвлении критических тором для функций с поликруговой симметрией, там же описаны характерные плоские сечения соответствующих каустик.

<sup>1</sup> Работа выполнена при поддержке фонда «Университеты России» (грант У.Р. 04.01.008)

Анализ бифуркаций в обычных (некраевых) критических точках эффективно осуществляется на основе схем конечномерной редукции [6—9]. Аналогичный подход применим и в угловых точках [9—20], но при этом возникает необходимость подбора ключевых параметров, согласованных с неравенствами, задающими угол. В [4] была предложена естественная идея включения системы ограничителей в систему угловых параметров. В данной статье используется эта же идея.

Первый шаг в изучении любой особенности — определение и вычисление мод бифуркации  $\{e_j\}_{j=1}^n$ , что в конечном итоге дает возможность представления любой ветви бифурцирующих экстремалей в форме

$$\sum_{j=1}^n \xi_j e_j + o(\xi), \quad (0.1)$$

где  $\xi = (\xi_1, \dots, \xi_n)^T$  — ветвь критических точек ключевой функции (зависящих от закритического приращения «управляющего параметра»).

В анализе обычных критических точек моды бифуркации чаще всего определяются как собственные функции главной части оператора Гессе (производной Фреше градиента) в заданной критической точке. В угловых же точках выбор мод менее очевиден.

Вслед за построением бифуркационных мод в полный рост встает задача построения и анализа нормальной формы ключевой функции. Основу для ее решения дают схемы конечномерных редукций [9], [11] и конструкции теории особенностей гладких функций [3].

## 1. Редукции угловых особенностей фредгольмовых функционалов

### 1.1. Редуцирующие схемы

Пусть  $E, F$  — банаховы пространства и  $f: E \rightarrow F$  — фредгольмово отображение нулевого индекса,  $E \subset F \subset \mathcal{H}$ , где  $\mathcal{H}$  — гильбертово пространство. Предположим, что вложения  $E \subset F \subset \mathcal{H}$  непрерывны и  $E$  плотно в  $\mathcal{H}$ . Отображение  $f$  называется потенциальным, если существует такой гладкий функционал  $V$  на  $E$  (потенциал отображения  $f$ ), что  $f = \text{grad}_{\mathcal{H}} V$ , то есть  $\frac{\partial V}{\partial x}(x)h = \langle f(x), h \rangle_{\mathcal{H}}$ ,  $x, h \in E$  ( $\langle \cdot, \cdot \rangle_{\mathcal{H}}$  — скалярное произведение в  $\mathcal{H}$ ). Уравнение

$$f(x) = 0 \quad (1.2)$$

в этом случае называется потенциальным.

Точка  $a \in E$  называется *экстремалью или критической точкой* гладкого функционала  $V(x)$ , заданного на банаховом пространстве  $E$ , если

$$\frac{\partial V}{\partial x}(a)h = \langle f(a), h \rangle_{\mathcal{H}} = 0 \quad \forall h \in E.$$

Вследствие плотности  $E$  в  $H$  последнее соотношение влечет равенство  $f(a) = 0$ . Таким образом, множество решений уравнения (1.2) и множество критических точек функционала  $V$  совпадают.

Если  $f(x, \lambda): E \times \mathbf{R}^q \rightarrow F$  — семейство гладких фредгольмовых отображений, гладко зависящее от параметра  $\lambda$ , и если отображение  $f(\cdot, \lambda)$  потенциально с потенциалом  $V(\cdot, \lambda)$ , то  $V(\cdot, \lambda)$  гладко зависит от данного параметра.

Иногда поведение функционала изучается при ограничениях на основную переменную в виде  $m$  неравенств, задающих неособо пересекающиеся гладкие поверхности и выделяющих  $m$ -гранный угол:

$$C = \{x \in E \mid g_j(x) \geq 0, j = 1, \dots, m\}.$$

В случае  $m = 1$  (одного неравенства) получаем так называемую краевую особенность. Точка  $a \in C$  называется *условно критической* для гладкого функционала  $V(x, \lambda)$ , если  $\text{grad}_{\mathcal{H}} V(0)$  ортогонален грани  $C$ , содержащей  $a$ . Число элементов носителя

$$\text{supp}(a) = \{k \in \{1, \dots, m\} \mid g_k(a) \neq 0\}$$

(приведенная размерность минимальной грани угла, содержащей эту точку) называется *порядком* точки  $a$ .

Анализ поведения  $V(x, \lambda)$  можно проводить на основе перехода к функции  $W(\xi) := \inf_{x: g(x)=\xi} V(x)$  в какой-либо схеме конечномерной редукции. Здесь  $g(x) = (g_1, \dots, g_n)^T$ ,  $\{g_j\}_{j=1}^n$  — набор независимых гладких функционалов (ключевых параметров), включающий в себя семейство ограничителей  $\{g_k\}_{k=1}^m$  (определяющих угол). Функционалы  $g_j(x)$  подчинены, как правило, дополнительным условиям технического характера. В данной статье предполагается, что

$$\text{grad}_{\mathcal{H}} g_j(x) \in F \quad \forall x \in E.$$

Предполагается также, что вблизи нуля в каждом слое  $g^{-1}(\xi)$  существует единственная (морсовская) экстремаль  $\varphi(\xi)$ . Подмногообразие  $\mathcal{N}$ , состоящее из точек  $\varphi(\xi)$ , называется редуцирующим.

Ключевая функция представляет собой сужение функционала  $V$  на редуцирующее подмногообразие.

### 1.2. Многообразие катастроф и каустика

Пусть  $\hat{M} \in E \times \mathbf{R}^q$  — многообразие катастроф, то есть  $\hat{M} = M_0 \cup M_1 \dots \cup M_m$ , где  $M_k$  определяется соотношениями:

$$f(x, \lambda) = 0, x \in C_k, \dim \text{Ker} \frac{\partial [f]_k}{\partial x}(x, \lambda) > 0.$$

Здесь  $C_k$  — совокупность граней угла  $C$  приведенной размерности  $k$ ,  $C_0$  — вершинная грань угла, а  $[f]_k = \text{grad}_{\mathcal{H}}(V|_{C_k})$ .

Каустика  $\Sigma$  определяется как образ многообразия катастроф относительно канонической проекции  $\pi: E \times \mathbf{R}^q \rightarrow \mathbf{R}^q: \Sigma = \pi(\hat{M})$ .

Если известна оценка сверху числом  $d$  значений индексов Морса всех бифурцирующих экстремалей, то каждый *bif*-расклад

можно описать матрицей  $L = \begin{pmatrix} l_0^0 & \dots & l_d^0 \\ \dots & \dots & \dots \\ l_0^m & \dots & l_d^m \end{pmatrix}$ , в

которой элемент  $l_i^j$  совпадает с количеством критических точек (углового) индекса  $j$  на  $i$ -мерных (в приведенном смысле) гранях.

Как обычно, версальные деформации угловых особенностей содержат информацию о всех метаморфозах, происходящих при всевозможных гладких деформированиях функции — о перестройках поверхностей уровня,

расклейках и склейках особых точек, о различных бифуркационных эффектах и т.д., и поэтому они играют центральную роль в теории угловых особенностей (как и в теории обычных особенностей [3]).

В угловом случае версальная деформация определяется как функция  $V(x, \lambda)$ , для которой совокупность ростков функций  $\frac{\partial V}{\partial \lambda_j}(x, 0)$  (начальных скоростей деформации) дает систему линейных образующих в угловом кольце особенности  $\hat{Q}_0(V)$ . Если эта совокупность является базисом  $\hat{Q}_0(V)$ , то деформация называется миниверсальной. Если вместо кольца ростков гладких функций использовать максимальный (в нем) идеал и профакторизовать его по угловому якобиеву идеалу, то получим усеченное угловое локальное кольцо  $\hat{Q}_0^*(V)$ . Деформация  $V(x, \lambda)$ , для которой  $V(x, 0) = 0$  и совокупность ростков функций  $\frac{\partial V}{\partial \lambda_j}(x, 0)$  образует базис  $\hat{Q}_0^*(V)$ , называется ограниченной миниверсальной деформацией. Каустика такой деформации называется главной и обозначается  $\Sigma$  (чаще всего каустикой особенности называют главную каустикой).

Каустика разбивает базу ограниченной миниверсальной деформации на ячейки, каждой из которых отвечает единственный *bif*-расклад.

В бифуркационном анализе угловой особой точки выделяются, как и в обычной теории, следующие две основные задачи: 1) описание геометрического строения (главной) каустики и 2) описание *bif*-раскладов, соответствующих компонентам связности дополнения к каустике (в базе ограниченной миниверсальной деформации).

### 1.3. Моды бифуркации

Пусть, как и выше,  $g$  — редуцирующее отображение. Рассмотрим редуцирующее подмногообразие  $\mathcal{N}$ , состоящее из условных экстремалей  $\varphi(\xi)$  функционала  $V$  на подмногообразиях  $M_\xi := g^{-1}(\xi)$ ,  $\xi \in \mathbf{R}^n$ . Отображение  $\xi \mapsto \varphi(\xi)$  называется маргинальным [9]. Без ущерба для общности можно предположить, что исходная угловая критическая точка нулевая.

Пусть  $N$  — линейная оболочка системы градиентов ограничителей в нуле:

$$N := \text{Lin}(\{\text{grad } g_1(0), \dots, \text{grad } g_m(0)\})$$

и пусть  $\tilde{N} := A^{-1}(N)$ , где  $A := \frac{\partial f}{\partial x}(0)$  — оператор Гессе в нуле. Пусть, далее,  $e_1, \dots, e_n$  —

ортонормированный в энергетической метрике  $\langle x, y \rangle_1 := \langle \bar{A}(x), y \rangle$  (оператор  $\bar{A}$  задан соотношением  $\bar{A}(u+v) := u + A(v)$ ,  $u \in \text{Ker } A$ ,  $v \perp \text{Ker } A$ ) базис подпространства  $\tilde{N}$ , построенный при условии, что его первые  $r$  векторов задают базис ядра оператора  $A$ :  $\text{Lin}\{e_1, \dots, e_r\} = \text{Ker } A$ .

**Теорема 1.1.** *Подпространство  $\tilde{N}$  является касательным к редуцирующему подмногообразию  $\mathcal{N}$  в нуле.*

**Доказательство.** Условная экстремаль функционала  $V$  на подмногообразии  $M_\xi$  является решением (единственным вблизи нуля) уравнения

$$P_x \cdot f(x) = 0,$$

где  $P_x$  — ортогональный проектор на касательное подпространство в точке  $x \in M_\xi$  к подмногообразию  $M_\xi$ . Следовательно, верно тождество

$$P_{\varphi(\xi)} \cdot f(\varphi(\xi)) = 0.$$

Продифференцировав это тождество в нуле, легко убедиться, что образ дифференциала маргинального отображения совпадает с прообразом нуля оператора  $P_0 \cdot A$  или, что равносильно, с прообразом подпространства  $\tilde{N}$  относительно  $A$ . Что и требовалось доказать.

**Теорема 1.2.** *Существует такое диффеоморфное преобразование координат в пространстве ключевых параметров, что после его применения к редуцирующему отображению  $g$  (заменой образа) для маргинального отображения реализуется представление (0.1) с коэффициентами  $e_1, \dots, e_n$  в линейной части, задающими заранее выбранный базис в  $\tilde{N}$ . Слагаемое  $o(\xi)$  при этом (в (0.1)) ортогонально  $\tilde{N}$  (в энергетической метрике  $\langle \cdot, \cdot \rangle_1$ ).*

**Доказательство.** Для редуцирующего подмногообразия  $\mathcal{N}$  рассмотрим параметризацию вида

$$\gamma(\xi) = \sum_k \xi_k e_k + \alpha(\xi), \quad \alpha(\xi) = o(\xi), \quad \alpha(\xi) \perp \tilde{N}$$

(соотношение ортогональности задано в энергетической метрике). Очевидно, что отображение  $\psi := g \cdot \gamma$  является локальным диффеоморфизмом пространства ключевых параметров. После замены  $\xi \mapsto \psi(\xi)$  (образа редуцирующего отображения) получим отображение  $p = \psi^{-1} \cdot g$ , для которого  $p(\gamma(\xi)) \equiv \xi$ . Следовательно, после замены редуцирующего отображения  $g$  на  $p$  отображение  $\gamma$  становится

маргинальным. Так как для него выполняется представление (0.1), то справедливость утверждения теоремы установлена.

**Замечание 1.1.** В случае линейных ограничений имеет место соотношение  $g \cdot \alpha = 0$  и, следовательно, диффеоморфизм  $\psi$  является линейным.

**2. Полурегулярные угловые особенности**

2.1. Особенности с симметрией параллелепипеда

Угловые экстремали появляются не только в вариационных задачах с полуограничениями, но и в вариационных задачах с симметриями [1], [4], [5].

Ниже описаны расклады бифурцирующих морсовских экстремалей параметрического семейства гладких фредгольмовых функционалов  $V(x, \lambda)$  из нулевой особой экстремали при условии, что функционал  $V(x, 0)$  инвариантен относительно некоторой системы коммутирующих инволюций, задающих на ядре его второго дифференциала полусвободное действие группы симметрии параллелепипеда (то есть нуль — единственная неподвижная точка).

Дополнительные условия заданы так, что редукция приводит к задаче анализа экстремалей в окрестности нуля для функции  $n$  переменных, представляющей собой возмущение  $m$ -мерной сборки, четной по каждой переменной. Анализ такой функции эквивалентен анализу полурегулярной угловой особенности.

Напомним, что многообразие размерности  $n$  с  $m$ -мерным углом ( $m \leq n$ ) называется гладкое вещественное  $n$ -мерное многообразие с набором из  $m$  неособо пересекающихся гладких гиперповерхностей. Локально (в окрестности угловой точки) такое многообразие устроено как пространство  $\mathbf{R}^n$  с выделенным в нем семейством гиперплоскостей

$$\mathbf{R}_j^n = \{x \in \mathbf{R}^n \mid x_j = 0\}, j = 1, \dots, m$$

(здесь  $x_j$  —  $j$ -я координата точки  $x$ ). Случай одной гиперплоскости ( $m = 1$ ) называется многообразием с краем. Множество

$$C = \{x \in \mathbf{R}^n \mid x_j \geq 0, j = 1, \dots, m\}$$

называется  $m$ -гранным углом. Точка  $a \in C$  называется условно критической для гладкой функции  $W$  в  $\mathbf{R}^n$ , если  $grad W(a)$  ортого-

нален наименьшей грани  $C$ , содержащей  $a$ . Число элементов носителя

$$supp(x) = \{k \in \{1, \dots, m\} \mid x_k \neq 0\}$$

(приведенная размерность минимальной грани угла, содержащей эту точку) называется порядком точки  $a$ . Кратностью  $\hat{\mu}$  условно критической точки  $a \in C$  называется размерность фактор-алгебры

$$\hat{Q}(W, a) = \mathbf{R}[[x - a]] / \hat{\mathfrak{A}}(W, a),$$

где  $\mathbf{R}[[x - a]]$  — алгебра формальных степенных рядов от  $x - a$ , а  $\hat{\mathfrak{A}}(W, a)$  — угловой якобиев идеал в  $\mathbf{R}[[x - a]]$ , порожденный двумя следующими наборами функций:

$$\left\{ \frac{\partial W}{\partial x_j} \right\}_{j \in supp(a)}, \left\{ x_k \frac{\partial W}{\partial x_k} \right\}_{k \notin supp(a)}$$

Точка, для которой  $\hat{\mu} = 1$ , называется простой или регулярной. Пусть

$$K = \{1, \dots, m\} \setminus supp(a).$$

Через  $\mu_K(W, a)$  обозначается (обычная) кратность в точке  $a$  ограничения  $W|_{\mathbf{R}_K^n}$ ,  $\forall K \in \{1, \dots, m\} \setminus supp(a)$ , где

$$\mathbf{R}_K^n = \bigcap_{k \in K} \mathbf{R}_k^n.$$

Нерегулярная условно критическая точка  $a$ , для которой

$$\mu_K \leq 1 \quad \forall K \in \{1, \dots, m\} \setminus supp(a),$$

называется полурегулярной.

Если  $supp(a) = \emptyset$  и  $a$  — полурегулярная условно критическая точка для  $W$ , то угловой заменой координат (посредством локального диффеоморфизма пары  $(\mathbf{R}^n, C) \rightarrow (\mathbf{R}^n, C)$ , преобразующего каждую грань  $C$  на себя) функция  $W$  приводится к нормальной форме

$$W(x) = \sum_{k=1}^m \sigma_k x_k^2 + \sum_{1 \leq k_1 < \dots < k_q \leq m, q \geq 2} a_{k_1, \dots, k_q} x_{k_1} \dots x_{k_q} + \sum_{p=m+1}^n \sigma_p x_p^2, \quad (2.4)$$

где  $\sigma_k \in \{-1, 1\}$ .

Каноническая миниверсальная деформация особенности  $W$  в нуле задается разверткой

$$W(x, \lambda) = W(x) + \sum_{1 \leq k_1 < \dots < k_q \leq m, q \geq 0} \lambda_{k_1, \dots, k_q} x_{k_1} \dots x_{k_q}, \quad (2.5)$$

$\lambda = \{\lambda_{k_1, \dots, k_q}\}$ . Доказательство этих утверждений можно осуществить либо непосредственно [1], либо сведением к их эквивариантным аналогам [23].



Для полурегулярной особенности можно положить, без ущерба для общности,  $m = n$  и  $a = 0$ .

Если  $\hat{\mathbf{R}}^n$  — пространство с координатами  $y_1, \dots, y_n$ ,  $2^m$ -листно накрывающее  $\mathcal{C}$  посредством отображения

$$\pi : \hat{\mathbf{R}}^n \rightarrow \mathbf{R}^n, \pi(y) = (y_1^2, \dots, y_m^2, y_{m+1}, \dots, y_n)^T,$$

то  $W(x)$  поднимается в  $\hat{\mathbf{R}}^n$  формулой  $\hat{W}(y) = \hat{W}(y) = W(\pi(y))$ . Функция  $\hat{W}$  инвариантна относительно инволюций  $J_1, \dots, J_m$  ( $J_k$  изменяет знак в  $k$ -й координате). Угловому диффеоморфизму

$$\varphi : (\mathbf{R}^n, 0) \rightarrow (\mathbf{R}^n, 0)$$

однозначно соответствует диффеоморфизм

$$\hat{\varphi} : (\hat{\mathbf{R}}^n, 0) \rightarrow (\hat{\mathbf{R}}^n, 0),$$

эквивариантный относительно  $J_1, \dots, J_m$ , для которого

$$\hat{\varphi}(\hat{\mathcal{C}}) \subset \hat{\mathcal{C}}, \varphi\pi = \pi\hat{\varphi}$$

(здесь  $\hat{\mathcal{C}} = \{x \in \hat{\mathbf{R}}^n \mid y_j \geq 0, j = 1, \dots, m\}$ . Таким образом угловые особенности отождествляются с  $\{J_1, \dots, J_m\}$ -эквивариантными [1], [3]. При  $m = n$  форме (2.4) соответствует инвариантная  $n$ -мерная сборка:

$$\hat{W}(y) = \sum_{k=1}^m \sigma_k y_k^4 + \sum_{1 \leq k_1 < \dots < k_q \leq m, q \geq 2} a_{k_1, \dots, k_q} y_{k_1}^2 \cdot \dots \cdot y_{k_q}^2, \quad (2.6)$$

а форме (2.5) — развертка

$$\hat{W}(y) + \sum_{k=1}^m \sigma_k y_k^4 + \sum_{1 \leq k_1 < \dots < k_q \leq m} \lambda_{k_1, \dots, k_q} y_{k_1}^2 \cdot \dots \cdot y_{k_q}^2, \quad (2.7)$$

задающая миниверсальную деформацию особенности (0.1) в классе функций, инвариантных относительно абелевой группы  $\mathbf{Z}_2^m$ , порожденной инволюциями  $J_k$ ,  $k = 1, \dots, m$ .

При таком отождествлении регулярные условно критические точки функции  $W$  соответствуют (обычным) регулярным критическим точкам функции  $\hat{W}$ . У соответствующих друг другу критических точек совпадают индексы Морса (под индексом Морса регулярной условно критической точки  $a \in \mathcal{C}$  подразумевается обычный индекс Морса ограничения

$$W|_{\mathbf{R}_K^n}, K = \{1, \dots, m\} \setminus \text{supp}(a),$$

сложенный с количеством отрицательных первых производных  $W$  в точке  $a$ ). Ясно, что при этом отождествляются бифуркационные

диаграммы угловой и  $\mathbf{Z}_2^m$ -эквивариантной особенностей.

## 2.2. Каустика полурегулярной угловой особенности

Пусть  $\Sigma$  — каустика (бифуркационная диаграмма функций без стратов Максвелла) для угловой особенности функции  $W$  в полурегулярной условно критической точке  $a = 0$ , то есть  $\Sigma$  — росток в нуле множества тех значений параметра в базе ограниченной миниверсальной деформации  $W(x, \lambda)$  (полученной, например, из (2.5) ограничением  $W(x, \lambda) \equiv 0$ ), для которых  $W(\cdot, \lambda)$  имеет вырожденную условно критическую точку. Рассмотрим множество  $N_K$ , состоящее из тех  $(x, \lambda) \in \mathbf{R}^n \times \mathbf{R}^{\hat{\mu}-1}$ , для которых

$$x_j = \frac{\partial W}{\partial x_k}(x, \lambda) = 0 \quad \forall k \in K, \forall j \notin K, x_k \geq 0; \quad (2.8)$$

где  $W(\cdot, \lambda)$  — ограниченная миниверсальная деформация в форме (2.5). Из условия полурегулярности следует, что  $N_K$  вблизи нуля в  $\mathbf{R}^n \times \mathbf{R}^{\hat{\mu}-1}$  устроено как подмногообразие размерности  $\hat{\mu} - 1$  с  $\text{card} K$ -гранным углом. Проекция  $\pi : (x, \lambda) \mapsto x$ , суженная на  $N_K$ , диффеоморфно отображает некоторую окрестность нуля в  $N_K$  на окрестность нуля в угле пространства  $\mathbf{R}^{\hat{\mu}-1}$ , заданном неравенствами

$$\gamma_{K,k}(\lambda) \geq 0 \quad \forall k \in K, \quad (2.9)$$

где  $\gamma_{K,k}(\lambda)$  — выражение  $x_k$  через  $\lambda$  в силу системы уравнений (2.8). Если  $\gamma_K$  — столбец, составленный из компонент  $\gamma_{K,k}$ , а  $H_K$  — матрица, составленная из элементов

$$h_{i,j} = \frac{\partial^2 W}{\partial x_i \partial x_j}(0, 0), \quad i, j \in K,$$

то

$$\gamma_K = -H_K^{-1} b_K + o(b_K), \quad (2.10)$$

где  $b_K$  — столбец, составленный из компонент  $b_k, k \in K$ , вектора  $b = \text{grad}_x W(0, \lambda)$ . Соотношение (2.10) одновременно задает асимптотику бифурцирующих условно критических точек с носителем  $K$ .

Пусть

$$N = \bigcup_K N_K, \quad S = \bigcup_{K', K''} (N_{K'} \cap N_{K''}), \quad K' \neq K''.$$

Для полурегулярной угловой особенности росток множества  $\pi(S)$  в нуле совпадает с  $\Sigma$ . С каждой парой семейств

$$L, K, L \cap K = \phi, L \cup K \subset \{1, \dots, n\},$$

связжем подмножество

$$S_{K;L} = \{(x, \lambda) \in N_K \mid \text{supp}(\text{grad}_x W(x, \lambda)) \subset \{1, \dots, n\} \setminus (k \cup L)\}.$$

Из определения  $S$  следует, что

$$S = \cup S_{K;L}, L \cap K = \phi, L \cup K \subset \{1, \dots, n\}, L \neq \phi.$$

Аналогично имеем

$$\begin{aligned} \Sigma &= \cup \Sigma_{K;L}, L \cap K = \phi, \\ L \cup K &\subset \{1, \dots, n\}, L \neq \phi, \end{aligned} \quad (2.11)$$

где  $\Sigma_{K;L} = cl(\pi(S_{K;L}))$ . Разложение (2.11) задает стратификацию каустики  $\Sigma$ . Из определения  $\Sigma_{K;L}$  получаем

$$\Sigma_{K;L} = \bigcap_{l \in L} \Sigma_{K;l}. \quad (2.12)$$

Так как  $\Sigma_{K;l}$  задается соотношениями

$$\begin{aligned} x_j &= \frac{\partial W}{\partial x_k}(x, \lambda) = \frac{\partial W}{\partial x_l}(x, \lambda) = 0 \quad \forall k \in K, \\ \forall j \notin K, x_k &\geq 0; \end{aligned}$$

(см. (2.11)), то для  $K \neq \phi$  компонента  $\Sigma_{K;l}$  задается соотношениями

$$\gamma_{K;l}(\lambda) = 0, \gamma_{K;k}(\lambda) \geq 0 \quad \forall k \in K, \quad (2.13)$$

где  $\gamma_{K;l}$  получено из  $\frac{\partial W}{\partial x_l}(x, \lambda)$  подстановкой вместо  $x$  явного выражения  $x$  через  $\lambda$ , вытекающего из равенств (2.8).

Полезно отметить, что

$$\left. \begin{aligned} \gamma_{K;l}(\lambda) &= b_l(\lambda) + \sum_k h_{l;k}^K \gamma_{K;k} + o(b), \\ \gamma_{K;k}(\lambda) &= -\sum_j \bar{h}_{k;j}^K b_j(\lambda) + o(b) \quad \forall k \in K, \end{aligned} \right\} \quad (2.14)$$

где  $b_j(\lambda) = \frac{\partial W}{\partial x_j}(0, \lambda)$ ,  $\bar{h}_{k;j}^K$  — элемент матрицы  $H_K^{-1}$  (см. (2.8)). В итоге получаем следующее утверждение: каустика полурегулярной угловой особенности (2.8) в нуле представима в виде (2.11) (см. (2.12)), где компонента  $\Sigma_{K;j}$  задается соотношениями (2.13), в которых  $\gamma_{K;l}$  и  $\gamma_{K;k}$  представляются в форме (2.14). При этом асимптотика бифурцирующей регулярной условно критической точки с носителем  $K$  задается формулой (2.10).

Для описания фазовых переходов в кристаллах представляет интерес асимптотика критического значения  $b_K(\lambda)$  функции  $W(\cdot, \lambda)$  в регулярной условно критической точке с носителем  $K$ :

$$b_K(\lambda) = -\sum_{k,j} \bar{h}_{k;j}^K b_j(\lambda) + o(|b|^2). \quad (2.15)$$

### 2.3. Малые размерности

Случай  $n = 1$  для полурегулярных угловых особенностей тривиален. Многие фрагменты случая  $n = 2$  исследованы в рамках прикладных задач [22], [21]. Полное описание дано в [4]. Случай  $n = 3$  был недавно полностью исследован (для угловых точек минимума) в [5]. Случай угловой точки минимума (форма  $(Hx, x)$  положительна в  $\mathcal{C}$ ) имеет наибольший прикладной интерес. Бифуркации экстремалей из таких точек называются мягкими.

При  $n = 2$  мягкие бифуркации соответствуют ситуациям, в которых  $\sigma_1 = \sigma_2 = 1$  и  $h_{1,2} > -1$  (см. (2.4)). Положив в канонической деформации (2.5)  $\lambda_3 = h_{1,2} + \lambda_{1,2}$ , получим

$$\begin{aligned} W(x, \lambda) &= x_1^2 + x_2^2 + 2\lambda_3 x_1 x_2 + \lambda_1 x_1 + \lambda_2 x_2, \\ x &\in \mathbf{R}^2, \lambda \in \mathbf{R}^3. \end{aligned}$$

Каустика  $\Sigma$  в этом случае состоит из четырех компонент:

$$\Sigma_{\phi;1}, \Sigma_{\phi;2}, \Sigma_{2;1}, \Sigma_{1;2}.$$

Так как  $\gamma_{\phi;j} = \lambda_j$ ,  $\gamma_{i;i} = -\frac{1}{2} \lambda_i$  и  $\gamma_{i;j} = \lambda_j - \lambda_3 \lambda_i$ , то первые две компоненты задаются соотношениями

$$\lambda_1 = 0 \quad (\Sigma_{\phi;1}), \quad \lambda_2 = 0 \quad (\Sigma_{\phi;2}),$$

а третья и четвертая — соотношениями

$$\begin{aligned} \lambda_1 - \lambda_3 \lambda_2 &= 0, \quad \lambda_2 \leq 0 \quad (\Sigma_{2;1}), \\ \lambda_2 - \lambda_3 \lambda_1 &= 0, \quad \lambda_1 \leq 0 \quad (\Sigma_{1;2}). \end{aligned}$$

Пересечение всех компонент представляет собой прямую  $\lambda_1 = \lambda_2 = 0$ . Третья и четвертая компоненты пересекаются по полупрямой  $\lambda_3 = 1, \lambda_1 = \lambda_2 \leq 0$  и обе они содержат разные «половины» прямой  $\lambda_3 = -1, \lambda_1 + \lambda_2 = 0$ . Первая с третьей и вторая с четвертой пересекаются по полупрямым  $\lambda_1 = \lambda_3, \lambda_2 \leq 0$  и  $\lambda_2 = \lambda_3, \lambda_1 \leq 0$ . Каустика  $\Sigma$  расслаивается над стратом  $\lambda_1 = \lambda_2 = 0$  (посредством ортогонального проецирования) с особыми слоями, содержащими точки с  $\lambda_3 = -1, 0, 1$ . Все вырожденные критические точки при  $\lambda_1^2 + \lambda_2^2 \neq 0$  и  $|\lambda_3| \neq 1$  имеют тип краевой особенности  $B_2$  [3]. Асимптотические формулы (2.10) для бифурцирующих условно критических точек здесь являются точными. Для координат критических точек второго порядка имеем

$$x_j = \theta_j(\lambda) = -\frac{\lambda_j - \lambda_3 \lambda_k}{2(1 - \lambda_3^2)}, \quad j \neq k.$$

Для соответствующих критических значений получаем

$$\beta_j = -\frac{1}{4} \lambda_j^2$$

(для точек первого порядка) и

$$\beta_{1,2}(\lambda) = -\frac{\lambda_1^2 + \lambda_2^2 - 2\lambda_1 \lambda_2 \lambda_3}{4(1 - \lambda_3^2)}$$

(для точек второго порядка).

Топология линий уровня функции  $W(x, \lambda)$  в  $\{x_1 \geq 0, x_2 \geq 0\}$  и функции  $\tilde{W}(x, \lambda)$  приведена в таблицах контуров в [4].

При  $n = 3$  множество  $\Sigma$  состоит из двенадцати компонент

$$\Sigma_{\phi;k}, \Sigma_{j;k}, \Sigma_{i,j;k}, \quad (i \neq j \neq k \neq i).$$

Запишем развертку (2.5) в виде

$$W(x, \lambda, \alpha, \beta) = \sum_{j=1}^3 x_j^2 + \sum_{i \neq j \neq k \neq i} \alpha_j x_i x_k + \beta x_1 x_2 x_3 + \sum_{j=1}^3 \lambda_j x_j. \quad (2.16)$$

Мягкие бифуркации здесь делятся на шесть типов (по типу матрицы  $H$ ): положительные матрицы ( $\text{ind } H = 0$ ), определяемые неравенствами

$$\det H > 0, \quad |\alpha_j| < 1; \quad (2.17)$$

матрицы индекса два, для которых

$$\det H > 0, \quad \alpha_1 > 1; \quad (2.18)$$

и четыре типа матриц индекса единица, каждый из которых определяется неравенством  $\det H < 0$  и одной из следующих групп соотношений (с точностью до перестановки координат в  $\mathbf{R}^3$ ):

$$\min\{\alpha_j\} > 1; \quad (2.19)$$

$$\min\{\alpha_1, \alpha_2\} > 1, \quad |\alpha_3| < 1; \quad (2.20)$$

$$\alpha_1 > 1, \quad \max\{|\alpha_2|, |\alpha_3|\} < 1; \quad (2.21)$$

$$\max\{|\alpha_1|\} < 1, \quad \alpha_1 > \alpha_2 \alpha_3. \quad (2.22)$$

Соотношения (2.17)—(2.22) характеризует тип квадрики  $\{(Hx, x) = 0\}$  и ее расположение в  $\mathbf{R}^3$  по отношению к  $\mathcal{C}$ .

Из (2.10), (2.14) получаем

$$\gamma_{\phi;j} = \lambda_j, \gamma_{i;i} = -\frac{1}{2} \lambda_i, \gamma_{i;j} = \lambda_j - \alpha_k \lambda_i \quad (i \neq j \neq k \neq i),$$

$$\gamma_{i,j;i} = -\frac{\lambda_i - \alpha_k \lambda_j}{2(1 - \alpha_k^2)}, \quad \gamma_{i,j;j} = -\frac{\lambda_j - \alpha_k \lambda_i}{2(1 - \alpha_k^2)},$$

$$\begin{aligned} \gamma_{i,j;k} &= \lambda_k + 2(\alpha_j \gamma_{i,j;i} + \alpha_i \gamma_{i,j;j}) = \\ &= \lambda_k + \frac{(\alpha_j \alpha_k - \alpha_i) \lambda_j + (\alpha_i \alpha_k - \alpha_j) \lambda_i}{(1 - \alpha_k^2)} + \end{aligned}$$

$$+ \frac{\beta(\lambda_i - \alpha_k \lambda_j)(\lambda_j - \alpha_k \lambda_i)}{4(1 - \alpha_k^2)^2},$$

$$\gamma_{1,2,3;i} =$$

$$= -\frac{(1 - \alpha_j^2) \lambda_j + (\alpha_j \alpha_i - \alpha_k) \lambda_i + (\alpha_j \alpha_k - \alpha_i) \lambda_k}{2(1 + 2\alpha_1 \alpha_2 \alpha_3 - \alpha_1^2 - \alpha_2^2 - \alpha_3^2)} + o(|\lambda|^2).$$

Отсюда получаем асимптотические формулы для соответствующих критических значений (см. (2.15)—(2.16))

$$\beta_j = -\frac{1}{4} \lambda_j^2 + o(|\lambda|^2),$$

$$\beta_{i,j} = -\frac{(\lambda_i^2 + \lambda_j^2 - 2\alpha_k \lambda_i \lambda_j)}{4(1 - \alpha_k^2)} + o(|\lambda|^2),$$

$$\beta_{1,2,3} =$$

$$= -\frac{\left( \sum_{j=1}^n (1 - \alpha_j^2) \lambda_j^2 + \sum_{i \neq j \neq k \neq i} (\alpha_j \alpha_i - \alpha_k) \lambda_i \lambda_j \right)}{4(1 + 2\alpha_1 \alpha_2 \alpha_3 - \alpha_1^2 - \alpha_2^2 - \alpha_3^2)} + o(|\lambda|^2).$$

Компоненты каустики задаются соотношениями

$$\lambda_j = 0 \quad (\Sigma_{\phi;1}),$$

$$\lambda_j - \alpha_k \lambda_i = 0, \quad \lambda_i \leq 0 \quad (\Sigma_{i;j}),$$

$$\lambda_k + \frac{(\alpha_j \alpha_k - \alpha_i) \lambda_j + (\alpha_i \alpha_k - \alpha_j) \lambda_i}{(1 - \alpha_k^2)} +$$

$$+ \frac{\beta(\lambda_i - \alpha_k \lambda_j)(\lambda_j - \alpha_k \lambda_i)}{4(1 - \alpha_k^2)^2} = 0,$$

$$\frac{\alpha_k \lambda_j - \lambda_i}{(1 - \alpha_k^2)} \geq 0, \gamma_{i,j;j} = \frac{\alpha_k \lambda_i - \lambda_j}{(1 - \alpha_k^2)} \geq 0 \quad (\Sigma_{i,j;k}).$$

Описание всех *bif*-раскладов и сепаратрисных поверхностей уровня (при рассматриваемом здесь подходе) не сложное, но требует большого количества вычислений. В [5] был развит геометрический подход, позволивший дать полную классификацию всех *bif*-раскладов для мягких бифуркаций (при  $n = 3$ ).

Ограничимся рассмотрением в этом разделе лишь бифуркаций условных минимумов.

**Теорема 2.1** ([4]). *В случае (2.17) при любых  $\alpha, \beta$  и любом достаточно малом  $\lambda$  в малой окрестности нуля существует единственная точка условного минимума функции  $W(x, \lambda, \alpha, \beta)$ . При этом для любого носителя найдется сколь угодно малое  $\lambda$ , которому отвечает точка минимума с данным носителем.*

В случаях (2.18)—(2.19) допускается (локально) существование точек минимума лишь в начале координат и на ребрах конуса  $C$ . Допускается также сосуществование двух или трех (но не более) точек минимума первого порядка (на ребрах).

В случае (2.20) не допускается (локально) существование точек минимума максимального порядка (то есть внутри  $C$ ), но допускается точка минимума с носителем  $\{1, 2\}$  (грань  $x_3 = 0$ ). Более того, допускается сосуществование двух (но не более) точек минимума первого порядка, расположенных на первом и третьем или на втором и третьем ребрах, и сосуществование двух разнотипных точек минимума, расположенных на ребре  $x_1 = x_2 = 0$  и грани  $x_3 = 0$ .

В случаях (2.21)—(2.22) порядок любой бифурцирующей точки локального минимума не превосходит двух. При этом допускается сосуществование двух (но не более) точек минимума второго порядка, расположенных на гранях  $x_2 = 0$  и  $x_3 = 0$ . В случае (2.21) при  $\alpha_1\alpha_3 < \alpha_2$  или при  $\alpha_1 > 0, \alpha_2 > 0, \alpha_1\alpha_3 > \alpha_2$  и  $\alpha_1\alpha_2 > \alpha_3$ , а также в случае (2.22) при  $\alpha_1\alpha_3 < \alpha_2$  допускается сосуществование разнотипных точек минимума, расположенных на ребре  $x_1 = x_2 = 0$  и грани  $x_3 = 0$ .

Доказательство теоремы сводится к проверке разрешимости системы неравенств, определяющих области существования или сосуществования условно критических точек. Первое утверждение и второе в случае (2.18) могут быть также получены из широко известной теоремы об экстремумах выпуклой функции на выпуклом многограннике.

### 2.4. Функционалы с 3-круговой симметрией

Критические орбиты гладкого фредгольмова функционала  $V$  на банаховом многообразии  $M$  в случае поликруговой симметрии

[5] после редукции и факторизации ключевых переменных по действию тора переходят в условно критические точки некоторой функции в положительном координатном угле в  $\mathbf{R}^m$ .

Пусть  $V$  инвариантен относительно гладкого действия  $m$ -мерного тора  $\mathbf{T}^m$  на  $M$  и допускает конечномерную редукцию на области  $\mathcal{O} \subset M$  с редуцирующим отображением

$$p : \mathcal{O} \rightarrow \tilde{\mathcal{O}} \subset \mathbf{R}^{2m}$$

( $\tilde{\mathcal{O}}$  открыто в  $\mathbf{R}^{2m}$ ,  $p(a) = 0 \in \tilde{\mathcal{O}}$ ), эквивариантным относительно действий  $\mathbf{T}^m$  на  $M$  и на  $\mathbf{R}^{2m}$ , причем последнее действие задано ортогональным представлением  $R : \mathbf{T}^m \rightarrow \mathbf{SO}(2m)$ ,

$$R(\varphi_1, \dots, \varphi_m) = \text{diag}(I_{\varphi_1}, \dots, I_{\varphi_m}) \quad \forall (\varphi_1, \dots, \varphi_m) \in \mathbf{T}^m,$$

$I_\varphi$  — матрица поворота 2-мерной координатной плоскости на угол  $\varphi$ . Тогда будем говорить, что  $V$  обладает  *$m$ -круговой симметрией*.

Расклад бифурцирующих критических торов удобно изображать матрицей

$$\mathbf{M} = (l_i^j), \quad 1, j = 0, 1, \dots, m-1,$$

в которой  $l_i^j$  — количество критических  $(j+1)$ -мерных торов индекса (Морса)  $i$ .

Если функционал  $V(x, \lambda)$  гладко зависит от параметра  $\lambda \in \mathbf{R}^q$  и обладает 3-круговой симметрией, то ключевая функция  $W : \tilde{\mathcal{O}} \times \mathbf{R}^q \rightarrow \mathbf{R}$  инвариантна относительно указанного выше действия  $\mathbf{T}^3$  и в соответствующих ключевых координатах имеет следующий вид:

$$\begin{aligned} & \text{const} + \sum_{j=1}^3 \alpha_j(\delta) \rho_j + \sum_{j,k=1}^3 a_{jk} \rho_j \rho_k + \\ & + o(\|\rho\|^2) + O(\delta)O(\|\rho\|^2), \end{aligned} \quad (2.23)$$

$$\rho_j = r_j^2 = \xi_{2j-1}^2 + \xi_{2j}^2, \quad \rho = (\rho_1, \rho_2, \rho_3),$$

$$\delta = \lambda - \lambda_0, \quad \alpha_j(0) = 0.$$

Все *bif*-расклады зависят от индекса Морса  $\nu$  в нуле формы  $\sum_{j=1}^3 \alpha_j(\delta) r_j^2$  и от индекса Морса  $\tau$  в (единственной) критической точке ограничения

$$\sum_{j,k=1}^3 a_{jk} \rho_j \rho_k \Big|_{\sum_{j=1}^3 \alpha_j(\delta) \rho_j + 1 = 0}.$$

**Теорема 2.2** ([5]). *Пусть для ключевой функции (2.23) функционала  $V$  выполняются сле-*



дующие три требования: 1)  $rk\left(\frac{\partial \alpha_j}{\partial \lambda_i}\right) = 3$ ;  
 2)  $\det(a_{jk}) \neq 0$ ,  $a_{11}a_{22} - a_{12}a_{21} \neq 0$ ,  $a_{11} \neq 0$ ;

3)  $\sum_{j,k=1}^3 a_{jk} \rho_j \rho_k > 0$  при  $\rho_j \geq 0 \quad \forall j$  и  $\|\rho\| > 0$ .

Тогда при  $\delta \notin \Sigma$  допускаются те и только те *bif*-расклады критических торков для  $V$ , которым соответствуют матрицы  $\mathbf{M}$  из следующих списков: 1) в случае  $\nu = 1, \tau = 0$  —

$$\begin{pmatrix} 0 & 0 & 1 \\ 0 & 2 & 0 \\ 1 & 0 & 0 \end{pmatrix}, \begin{pmatrix} 0 & 1 & 0 \\ 0 & 1 & 0 \\ 1 & 0 & 0 \end{pmatrix}, \begin{pmatrix} 0 & 0 & 1 \\ 1 & 1 & 0 \\ 0 & 0 & 0 \end{pmatrix}, \\ \begin{pmatrix} 0 & 1 & 0 \\ 1 & 0 & 0 \\ 0 & 0 & 0 \end{pmatrix}, \begin{pmatrix} 1 & 0 & 0 \\ 0 & 0 & 0 \\ 0 & 0 & 0 \end{pmatrix};$$

2)  $\nu = 1, \tau = 1$  —

$$\begin{pmatrix} 0 & 0 & 1 \\ 1 & 1 & 0 \\ 0 & 0 & 0 \end{pmatrix}, \begin{pmatrix} 0 & 1 & 0 \\ 1 & 0 & 0 \\ 0 & 0 & 0 \end{pmatrix}, \begin{pmatrix} 0 & 0 & 1 \\ 2 & 0 & 0 \\ 0 & 1 & 0 \end{pmatrix}, \begin{pmatrix} 1 & 0 & 0 \\ 0 & 0 & 0 \\ 0 & 0 & 0 \end{pmatrix};$$

3)  $\nu = 2, \tau = 0$  —

$$\begin{pmatrix} 0 & 0 & 2 \\ 0 & 3 & 0 \\ 1 & 0 & 0 \end{pmatrix}, \begin{pmatrix} 0 & 1 & 1 \\ 0 & 2 & 0 \\ 1 & 0 & 0 \end{pmatrix}, \begin{pmatrix} 0 & 0 & 2 \\ 1 & 2 & 0 \\ 0 & 0 & 0 \end{pmatrix}, \begin{pmatrix} 0 & 2 & 0 \\ 0 & 1 & 0 \\ 1 & 0 & 0 \end{pmatrix}, \\ \begin{pmatrix} 0 & 1 & 1 \\ 1 & 1 & 0 \\ 0 & 0 & 0 \end{pmatrix}, \begin{pmatrix} 0 & 2 & 0 \\ 1 & 0 & 0 \\ 0 & 0 & 0 \end{pmatrix}, \begin{pmatrix} 1 & 1 & 0 \\ 0 & 0 & 0 \\ 0 & 0 & 0 \end{pmatrix};$$

4)  $\nu = 2, \tau = 1$  —

$$\begin{pmatrix} 0 & 2 & 0 \\ 2 & 0 & 1 \\ 0 & 1 & 0 \end{pmatrix}, \begin{pmatrix} 0 & 1 & 1 \\ 2 & 0 & 0 \\ 0 & 1 & 0 \end{pmatrix}, \begin{pmatrix} 0 & 2 & 0 \\ 2 & 1 & 0 \\ 0 & 0 & 0 \end{pmatrix}, \begin{pmatrix} 1 & 1 & 0 \\ 1 & 1 & 0 \\ 0 & 0 & 0 \end{pmatrix}, \\ \begin{pmatrix} 0 & 1 & 1 \\ 1 & 1 & 0 \\ 0 & 0 & 0 \end{pmatrix}, \begin{pmatrix} 0 & 2 & 0 \\ 1 & 0 & 0 \\ 0 & 0 & 0 \end{pmatrix}, \begin{pmatrix} 2 & 0 & 0 \\ 0 & 1 & 0 \\ 0 & 0 & 0 \end{pmatrix};$$

$$\begin{pmatrix} 1 & 0 & 1 \\ 1 & 0 & 0 \\ 0 & 1 & 0 \end{pmatrix}, \begin{pmatrix} 0 & 0 & 2 \\ 1 & 2 & 0 \\ 0 & 0 & 0 \end{pmatrix}, \begin{pmatrix} 1 & 0 & 1 \\ 0 & 1 & 0 \\ 0 & 0 & 0 \end{pmatrix}, \\ \begin{pmatrix} 1 & 1 & 0 \\ 0 & 0 & 0 \\ 0 & 0 & 0 \end{pmatrix};$$

5)  $\nu = 3, \tau = 0$  —

$$\begin{pmatrix} 0 & 0 & 3 \\ 0 & 3 & 0 \\ 1 & 0 & 0 \end{pmatrix}, \begin{pmatrix} 0 & 1 & 2 \\ 0 & 2 & 0 \\ 1 & 0 & 0 \end{pmatrix}, \begin{pmatrix} 0 & 0 & 3 \\ 1 & 2 & 0 \\ 0 & 0 & 0 \end{pmatrix}, \begin{pmatrix} 0 & 2 & 1 \\ 1 & 0 & 0 \\ 0 & 0 & 0 \end{pmatrix}, \\ \begin{pmatrix} 0 & 1 & 2 \\ 1 & 1 & 0 \\ 0 & 0 & 0 \end{pmatrix}, \begin{pmatrix} 1 & 0 & 2 \\ 0 & 1 & 0 \\ 0 & 0 & 0 \end{pmatrix}, \begin{pmatrix} 1 & 1 & 1 \\ 0 & 0 & 0 \\ 0 & 0 & 0 \end{pmatrix};$$

6)  $\nu = 3, \tau = 1$  —

$$\begin{pmatrix} 1 & 2 & 0 \\ 1 & 0 & 2 \\ 0 & 1 & 0 \end{pmatrix}, \begin{pmatrix} 0 & 2 & 1 \\ 2 & 0 & 1 \\ 0 & 1 & 0 \end{pmatrix}, \begin{pmatrix} 1 & 1 & 1 \\ 1 & 0 & 1 \\ 0 & 1 & 0 \end{pmatrix}, \begin{pmatrix} 2 & 1 & 0 \\ 0 & 0 & 2 \\ 0 & 1 & 0 \end{pmatrix}, \\ \begin{pmatrix} 0 & 1 & 2 \\ 2 & 0 & 0 \\ 0 & 1 & 0 \end{pmatrix}, \begin{pmatrix} 2 & 0 & 1 \\ 0 & 0 & 1 \\ 0 & 1 & 0 \end{pmatrix}, \begin{pmatrix} 1 & 0 & 2 \\ 1 & 0 & 0 \\ 0 & 1 & 0 \end{pmatrix}, \\ \begin{pmatrix} 3 & 0 & 0 \\ 0 & 2 & 1 \\ 0 & 0 & 0 \end{pmatrix}, \begin{pmatrix} 0 & 0 & 3 \\ 1 & 2 & 0 \\ 0 & 0 & 0 \end{pmatrix}, \begin{pmatrix} 0 & 2 & 1 \\ 1 & 1 & 1 \\ 0 & 0 & 0 \end{pmatrix}, \begin{pmatrix} 1 & 2 & 0 \\ 1 & 1 & 1 \\ 0 & 0 & 0 \end{pmatrix}, \\ \begin{pmatrix} 2 & 1 & 0 \\ 0 & 1 & 1 \\ 0 & 0 & 0 \end{pmatrix}, \begin{pmatrix} 0 & 1 & 2 \\ 1 & 1 & 0 \\ 0 & 0 & 0 \end{pmatrix}, \begin{pmatrix} 1 & 1 & 1 \\ 1 & 1 & 0 \\ 0 & 0 & 0 \end{pmatrix}, \\ \begin{pmatrix} 1 & 1 & 1 \\ 0 & 1 & 1 \\ 0 & 0 & 0 \end{pmatrix}, \begin{pmatrix} 0 & 3 & 0 \\ 1 & 0 & 1 \\ 0 & 0 & 0 \end{pmatrix}, \begin{pmatrix} 1 & 2 & 0 \\ 0 & 0 & 1 \\ 0 & 0 & 0 \end{pmatrix}, \begin{pmatrix} 0 & 2 & 1 \\ 1 & 0 & 0 \\ 0 & 0 & 0 \end{pmatrix}, \\ \begin{pmatrix} 2 & 0 & 1 \\ 0 & 1 & 0 \\ 0 & 0 & 0 \end{pmatrix}, \begin{pmatrix} 1 & 0 & 2 \\ 0 & 1 & 0 \\ 0 & 0 & 0 \end{pmatrix}, \begin{pmatrix} 1 & 1 & 1 \\ 0 & 0 & 0 \\ 0 & 0 & 0 \end{pmatrix};$$

7)  $\nu = 3, \tau = 2$  —

$$\begin{pmatrix} 3 & 0 & 0 \\ 0 & 3 & 0 \\ 0 & 0 & 1 \end{pmatrix}, \begin{pmatrix} 2 & 1 & 0 \\ 0 & 2 & 0 \\ 0 & 0 & 1 \end{pmatrix}, \begin{pmatrix} 3 & 0 & 0 \\ 0 & 2 & 1 \\ 0 & 0 & 0 \end{pmatrix}, \begin{pmatrix} 1 & 2 & 0 \\ 0 & 0 & 1 \\ 0 & 0 & 0 \end{pmatrix}, \\ \begin{pmatrix} 2 & 1 & 0 \\ 0 & 1 & 1 \\ 0 & 0 & 0 \end{pmatrix}, \begin{pmatrix} 2 & 0 & 1 \\ 0 & 1 & 0 \\ 0 & 0 & 0 \end{pmatrix}, \begin{pmatrix} 1 & 1 & 1 \\ 0 & 0 & 0 \\ 0 & 0 & 0 \end{pmatrix}$$

Доказательство. Пусть  $\hat{W}$  — полином, полученный из  $W$  тейлоровским разложением по  $\xi$  до четвертого порядка. Из асимптотических формул для ветвей бифурцирующих экстремалей [4] следует, что локальная геометрия каустики (вблизи нуля) и структура *bif*-раскладов не изменяется при переходе от  $W$  к  $\hat{W}$ . Замена  $r_j = \sqrt{\xi_{2j-1}^2 + \xi_{2j}^2}$  устанавливает взаимно однозначное соответствие между критическими орбитами  $\hat{W}$  и критическими точками функции  $\hat{W} : \mathbf{R}_+^3 \times \mathbf{R}^q \rightarrow \mathbf{R}$  (на координатном угле  $\mathbf{R}_+^3$ ). Замена  $|\alpha(\delta)| r_j^2 = \eta_j (\eta_j \geq 0 \forall j)$  сводит изучение рассматриваемых *bif*-раскладов к описанию допустимых раскладов критических точек функции

$$U(\eta_1, \eta_2, \eta_3) = \sum_{j,k=1}^3 \tilde{a}_{jk} \eta_j \eta_k$$

на следующих плоских областях в  $\mathbf{R}^3$ :  $\{\eta : \eta_1 + \eta_2 + \eta_3 = 1, \eta_j \geq 0 \forall j\}$ ;  $\{\eta : \eta_1 + \eta_2 - \eta_3 = 1, \eta_j \geq 0 \forall j\}$ ;  $\{\eta : \eta_1 + \eta_2 - \eta_3 = -1, \eta_j \geq 0 \forall j\}$ .

Выразив  $\eta_3$  через  $\eta_1$  и  $\eta_2$  (в силу уравнений плоскостей, несущих симплексы) и подставив эти выражения в  $U$ , получим задачу описания *bif*-раскладов многочленов второй степени на стандартных двумерных симплексах в  $\mathbf{R}^2$ . После приведения через аффинное преобразование координат многочлена второй степени к канонической форме  $\hat{U}(\zeta_1, \zeta_2) = const \pm \zeta_1^2 \pm \zeta_2^2$  получим двойственную задачу описания *bif*-раскладов критических точек  $\hat{U}$  на подвижных симплексах. Вследствие изначальной положительной определенности кватричной части  $W$  на  $\mathbf{R}^6$  функция  $\hat{U}$  также является положительно определенной (после всех замен) на рассматриваемых подвижных симплексах. Описание *bif*-раскладов  $\hat{U}$  на допустимых подвижных симплексах производится через описание *bif*-раскладов на соответствующих симплексах для квадратичных форм  $U_0(\zeta_1, \zeta_2) = \zeta_1^2 + \zeta_2^2$ ,  $U_1(\zeta_1, \zeta_2) = \zeta_1^2 - \zeta_2^2$ ,  $U_2(\zeta_1, \zeta_2) = -\zeta_1^2 - \zeta_2^2$  (нижний индекс  $j$  в  $U_j$  совпадает со значением

$\tau$ ). Допускаются лишь те симплексы, на которых область отрицательной определенности  $U_j$  ограничена. Количество критических торов размерности  $(j+1)$  равно количеству критических точек, лежащих на грани размерности  $j$  соответствующего симплекса.

На симплексах удобно использовать следующие правила: если линия уровня  $U_j$  касается ребра снаружи и ее градиент направлен внутрь, то в точке касания расположена точка минимума, если наружу — точка максимума, если линия уровня  $U_j$  касается ребра изнутри симплекса, то место касания — седловая точка; если линия уровня проходит через вершину симплекса, не пересекая угол, и градиент направлен внутрь, то в этой вершине находится точка минимума, если наружу — точка максимума, если линия уровня проходит через вершину симплекса, пересекая угол, то в данной вершине расположена седловая точка. Случай прохождения линии уровня через вершину и одновременной перпендикулярности градиента одной из сторон симплекса является вырожденным (параметр принадлежит каустике).

Исходя из указанных правил, а также геометрических свойств касания прямой с окружностями и гиперболами (линиями уровня  $U_0, U_2$  и  $U_1$  соответственно) можно построить характерные сечения каустики, определяющие области, каждой из которых соответствует свой *bif*-расклад. Перебирая связные компоненты дополнений к этим сечениям и пользуясь описанными выше правилами, легко перечислить все допустимые *bif*-расклады  $U_0, U_1, U_2$  на всех допустимых симплексах, что дает в итоге полное описание допустимых *bif*-раскладов для  $V$  в виде указанных в теореме списков матриц.

### 3. Случай трехкратного вырождения вдоль максимальной грани

Предварительно заметим, что деформация

$$\eta_1^4 + (\eta_2 + c\eta_1)^2 + \lambda_1\eta_1 + \lambda_2\eta_2 + \lambda_3\eta_1^2 + \lambda_4\eta_1\eta_2 + \lambda_5\eta_1^2\eta_2 \tag{3.24}$$

является версальной для особенности  $\eta_1^4 + (\eta_2 + c\eta_1)^2$  в вершине угла  $\eta_1 \geq 0, \eta_2 \geq 0$ . Коразмерность (угловая) особенности в данном случае равна шести («угловой» идеал здесь порожден полиномами  $2\eta_1^4 + c\eta_1\eta_2 + c^2\eta_1^2, \eta_2^2 + c\eta_1\eta_2 + c^2\eta_1^2, c \neq 0$ ).

Далее предполагается, что  $c > 1$ .

Наложение условия симметрии четности приводит к «отбрасыванию» в развертке (3.24) нечетных слагаемых, в итоге получаем

$$W(\eta, \varepsilon_1, \varepsilon_2) = \eta_1^4 + (\eta_2 + c\eta_1)^2 - 2\varepsilon_1\eta_1^2, \\ \eta_1 \geq 0, \eta_2 \geq 0.$$

Вариации управляющих параметров  $\varepsilon_1, \varepsilon_2$  приводят к изменению типа нулевой особой точки, но не приводят к рождению ненулевых критических точек в положительном координатном угле. При этом можно наблюдать интересный феномен: вершина угла при наличии симметрии четности является морсовской (при  $\varepsilon_1 \neq 0$ ), несмотря на то, что особенность рассматриваемой функции имеет в этой точке единичную коразмерность.

При нарушении симметрии нормальная форма ключевой функции принимает следующий вид:

$$\eta_1^4 + (\eta_2 + c\eta_1)^2 - 2\varepsilon_1\eta_1^2 + 2\varepsilon_2\eta_1^2\eta_2 + \\ + 2\varepsilon_3\eta_1\eta_2 + 2\varepsilon_4\eta_1 + 2\varepsilon_5\eta_2.$$

Положив  $a = c^2 - 2\varepsilon_1, b = c + \varepsilon_3$ , запишем ключевую функцию  $W(\eta, a, b, \varepsilon)$  в виде:

$$\eta_1^4 + \eta_2^2 + a\eta_1^2 + 2b\eta_1\eta_2 + 2\varepsilon_2\eta_1^2\eta_2 + 2\varepsilon_4\eta_1 + 2\varepsilon_5\eta_2 = \\ = \eta_1^4 + (a - b^2)\eta_1^2 + (\eta_2 + b\eta_1)^2 + 2\varepsilon_2\eta_1^2\eta_2 + 2\varepsilon_4\eta_1 + 2\varepsilon_5\eta_2 = \\ = \eta_1^4 - \varepsilon\eta_1^2 + (\eta_2 + b\eta_1)^2 + 2\varepsilon_2\eta_1^2\eta_2 + 2\varepsilon_4\eta_1 + 2\varepsilon_5\eta_2,$$

где

$$\varepsilon := b^2 - a = 2\varepsilon_1 + 2c\varepsilon_3 + \varepsilon_3^2.$$

**Замечание 3.1.** При  $c = 0$  особенность главной части  $W$  восьмикратна в нуле, при  $c \neq 0$  и  $\varepsilon = 0$  — шестикратна, а при  $\varepsilon \neq 0$  кратность нуля становится равной четырем.

Каустика  $\Sigma$  является объединением компонент, каждая из которых «отвечает» за вырождение и характер вырождения критических точек на соответствующих гранях угла:

$$\Sigma = \Sigma_{0,0} \cup \Sigma_{1,0}^{int} \cup \Sigma_{1,0}^{ext} \cup \Sigma_{0,1}^{int} \cup \Sigma_{0,1}^{ext} \cup \Sigma_{1,1}.$$

Здесь  $\Sigma_{i,j}$  — компонента, отвечающая за вырождение на  $(i + j)$ -мерной грани;  $\Sigma^{int}$  и  $\Sigma^{ext}$  — компоненты, отвечающие за вырождение внутри заданной грани и, соответственно, по нормали к ней.

Компонента  $\Sigma_{0,0}$ , отвечающая за вырождение в вершине угла  $(0, 0)$ , дает вклад в общую каустическую в виде пары плоскостей  $\{\varepsilon_4 = 0\}$  и  $\{\varepsilon_5 = 0\}$ .

Лист  $\Sigma_{0,1}$  равен  $\Sigma_{0,1}^{ext}$  ( $\Sigma_{0,1}^{int}$  — пустое множество).

$$\left. \frac{\partial W}{\partial \eta_2} \right|_{\eta_1=0} = 0 \Leftrightarrow \begin{cases} \eta_1 = 0, \\ 2(\eta_2 + \varepsilon_5) = 0, \end{cases}$$

Лист  $\Sigma_{0,1}^{ext}$  представляет собой полуплоскость  $\varepsilon_4 - b\varepsilon_5 = 0, \varepsilon_5 < 0$ .

Лист  $\Sigma_{1,0}$ , равный  $\Sigma_{1,0}^{ext}$  ( $\Sigma_{1,0}^{int}$  — пустое множество), является кубическим параболическим цилиндром:  $2\varepsilon_5^3 + b^3((b - \frac{\varepsilon}{b})\varepsilon_5 - \varepsilon_4) = 0, \varepsilon_5 < 0$ .

Таким образом, все нерегулярности на гранях реализуются лишь за счет внешнего вырождения (вырождения по нормали).

**Теорема 3.1** ([20]) *Компонента  $\Sigma_{1,1}$  (отвечающая за вырождение внутри угла) — гладкое подмногообразие единичной коразмерности в пространстве параметров  $(\varepsilon_1, \varepsilon_2, \varepsilon_3, \varepsilon_4, \varepsilon_5) \in \mathbf{R}^5$ , являющееся прообразом каустики краевой особенности  $B_4$ :  $\tilde{\eta}_1^4 + \lambda_3\tilde{\eta}_1^3 + \lambda_2\tilde{\eta}_1^2 + \lambda_1\tilde{\eta}_1, \tilde{\eta}_1 > 0$  (см. [3], [2]), рассмотренной с дополнительным ограничением  $p(\tilde{\eta}_1) := \varepsilon_2\tilde{\eta}_1^2 + b\tilde{\eta}_1 + \varepsilon_5 < 0$ , относительно алгебраической субмерсии, заданной соотношением*

$$\begin{pmatrix} \lambda_1 \\ \lambda_2 \\ \lambda_3 \end{pmatrix} = \begin{pmatrix} 2(\varepsilon_4 - b\varepsilon_5 + \varepsilon_2^2\tilde{\delta} + \tilde{\delta} \cdot o(\varepsilon_2^4)) \\ -\varepsilon - 2\varepsilon_2\varepsilon_5 - \varepsilon_2^2(\varepsilon + 2\varepsilon_2\varepsilon_5) - o(\varepsilon_2^4)(\varepsilon + 2\varepsilon_2\varepsilon_5) \\ -2b\varepsilon_2 - 2\varepsilon_2^3 + o(\varepsilon_2^5) \end{pmatrix}. \quad (3.25)$$

Доказательство. Описание  $\Sigma_{1,1}$  удобно проводить, рассмотрев ключевую функцию в виде

$$W(\eta, a, b, \varepsilon) = \eta_1^4 + a\eta_1^2 + 2\varepsilon_4\eta_1 + \\ + \eta_2^2 + 2\eta_2(\varepsilon_2\eta_1^2 + b\eta_1 + \varepsilon_5) = \\ = \eta_1^4 + a\eta_1^2 + 2\varepsilon_4\eta_1 + (\eta_2 + p(\eta_1))^2 - p^2(\eta_1) = \\ = \eta_1^4 + q(\eta_1) + (\eta_2 + p(\eta_1))^2 - p^2(\eta_1),$$

где

$$p(\eta_1) = \varepsilon_2\eta_1^2 + b\eta_1 + \varepsilon_5, q(\eta_1) = a\eta_1^2 + 2\varepsilon_4\eta_1, \\ \eta_1 > 0, \eta_2 > 0.$$

Сделав гладкую замену переменных

$$\tilde{\eta}_1 = \eta_1, \tilde{\eta}_2 = \eta_2 + p(\eta_1), \quad (3.26)$$

получим функцию

$$\tilde{W}(\tilde{\eta}, a, b, \varepsilon) = \\ = (1 - \varepsilon_2^2)\tilde{\eta}_1^4 + \tilde{\eta}_2^2 - 2b\varepsilon_2\tilde{\eta}_1^3 - (\varepsilon + 2\varepsilon_2\varepsilon_5)\tilde{\eta}_1^2 + 2\tilde{\delta}\tilde{\eta}_1,$$

рассматриваемую на множестве  $\tilde{\eta}_1 > 0$ ,  $\tilde{\eta}_2 > p(\tilde{\eta}_1)$ . Редуцирующий переход от функции  $\tilde{W}$  к функции  $\hat{W}(\tilde{\eta}_1, a, b, \varepsilon) = \inf_{\tilde{\eta}_2} \tilde{W}(\tilde{\eta}_1, \tilde{\eta}_2, a, b, \varepsilon) =$

$$= (1 - \varepsilon_2^2)\tilde{\eta}_1^4 - 2b\varepsilon_2\tilde{\eta}_1^3 - (\varepsilon + 2\varepsilon_2\varepsilon_5)\tilde{\eta}_1^2 + 2\tilde{\delta}\tilde{\eta}_1 \quad (3.27)$$

при  $\tilde{\eta}_1 > 0$ ,  $p(\tilde{\eta}_1) = \varepsilon_2\tilde{\eta}_1^2 + b\tilde{\eta}_1 + \varepsilon_5 < 0$  позволяет свести рассуждения к случаю одномерной особенности.

Рассмотрим сначала более простую версию теоремы 3.1.

**Теорема 3.2.** При  $\varepsilon_2 = 0$  лист  $\Sigma_{1,1}$  является прообразом каустики обычной (одномерной) сборки, рассмотренной на области  $0 < \eta_1 < -\frac{\varepsilon_5}{b}$ .

Доказательство этой теоремы вытекает из того, что при  $\varepsilon_2 = 0$  получаем (см. (3.26), (3.27))  $\tilde{W} = \eta_1^4 - \varepsilon\eta_1^2 + 2\tilde{\delta}\eta_1$ . Из этого представления нетрудно усмотреть, что соответствующим образом подобранное трехмерное сечение каустики  $\Sigma$  (при  $\varepsilon_2 = 0$ ) представлено на рис. 3.1.

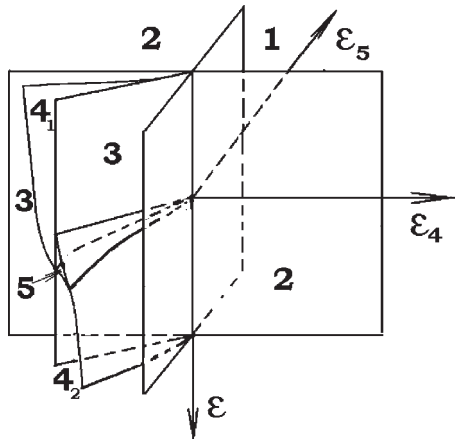


Рис. 3.1

Двумерные сечения бифуркационной диаграммы (после добавления секущих плоскостей  $h := \varepsilon_5 + b\varepsilon_4 = const$ , ортогональных плоскостям  $\varepsilon_4 - b\varepsilon_5 = const$ ) изображены на рис. 3.2.

Соответствующая диаграмма перестроек bif-раскладов представлена на рис. 3.3.

Доказательство более общей теоремы 3.1 нетрудно осуществить, если предварительно применить преобразование Чирнгауза

$$\tilde{\eta}_1 = \hat{\eta}_1 + \frac{b\varepsilon_2(1 + \varepsilon_2^2 + o(\varepsilon_2^4))}{2},$$

после которого получим функцию

$$\hat{W}(\hat{\eta}_1, a, b, \tilde{\varepsilon}) = \hat{\eta}_1^4 + l(\tilde{\varepsilon})\hat{\eta}_1^2 + m(\tilde{\varepsilon})\hat{\eta}_1 + k(\tilde{\varepsilon}),$$

на множестве, заданном соотношениями

$$\hat{\eta}_1 > -\frac{b\varepsilon_2(1 + \varepsilon_2^2)}{2},$$

$$4\varepsilon_2\hat{\eta}_1^2 + 4b\hat{\eta}_1(\varepsilon_2^4 + \varepsilon_2^2 + 1) + b^2\varepsilon_2(1 + \varepsilon_2^2)(\varepsilon_2^4 + \varepsilon_2^2 + 2) + 4\varepsilon_5 < 0,$$

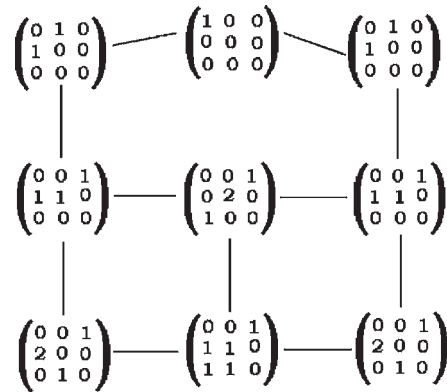


Рис. 3.3

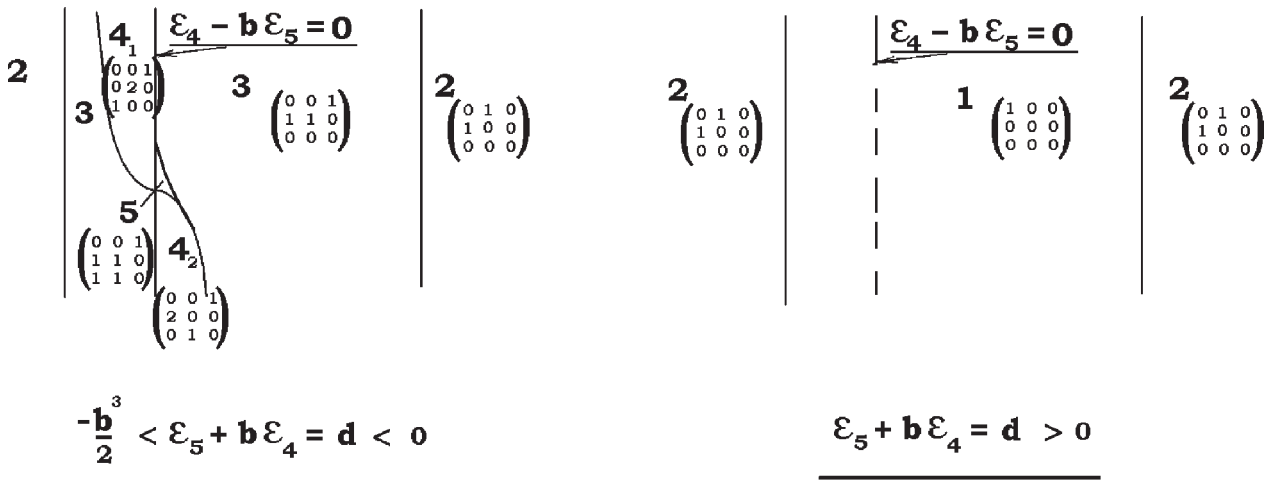


Рис. 3.2



где

$$\tilde{\varepsilon} = (\varepsilon, \varepsilon_2, \varepsilon_4, \varepsilon_5),$$

$$l(\tilde{\varepsilon}) = -\frac{3}{2}b^2\varepsilon_2^2(1 + \varepsilon_2^2 + o(\varepsilon_2^4))^2 +$$

$$+(1 + \varepsilon_2^2 + o(\varepsilon_2^4))(\varepsilon - 2\varepsilon_2\varepsilon_5) =$$

$$= -\varepsilon - \varepsilon\varepsilon_2^2 - \frac{3}{2}b^2\varepsilon_2^2 - 2\varepsilon_2\varepsilon_5 + o(\varepsilon_2^3) + o(\varepsilon_2^2)o(\varepsilon_5),$$

$$m(\tilde{\varepsilon}) = -b^3\varepsilon_2^3(1 + \varepsilon_2^2)^3 - b\varepsilon_2(1 + \varepsilon_2^2)^2(\varepsilon + 2\varepsilon_2\varepsilon_5) +$$

$$+ 2\tilde{\delta}(1 + \varepsilon_2^2) + o(\varepsilon_2^4),$$

$$k(\tilde{\varepsilon}) = -\frac{3}{16}b^4\varepsilon_2^4(1 + \varepsilon_2^2)^4 - b^2\varepsilon_2^2(1 + \varepsilon_2^2)^3(\varepsilon + 2\varepsilon_2\varepsilon_5) +$$

$$+ b\varepsilon_2\tilde{\delta}(1 + \varepsilon_2^2)^2 + o(\varepsilon_2^4).$$

Параметризация  $\Sigma_{1,1}$  выглядит следующим образом:

$$\begin{cases} \varepsilon + \varepsilon_2\varepsilon_5 = 6t^2, \\ 2(\varepsilon_4 - b\varepsilon_5) - b\varepsilon\varepsilon_2 = 8t^3, \end{cases}$$

где

$$t > -\frac{b\varepsilon_2}{2}, 4\varepsilon_2t^2 + 4bt + 2b\varepsilon_2 + 4\varepsilon_5 < 0.$$

**Замечание 3.2.** Нетрудно увидеть, что при  $\varepsilon_2 \neq 0$  дополнительно появляется ячейка, соответствующая максимальному *bif*-раскладу:

$$\begin{pmatrix} 0 & 0 & 1 \\ 0 & 2 & 0 \\ 2 & 1 & 0 \end{pmatrix}.$$

Характерное трехмерное сечение каустики  $\Sigma$  (при  $\varepsilon_2 \neq 0$ ) приведено на рис. 3.4.

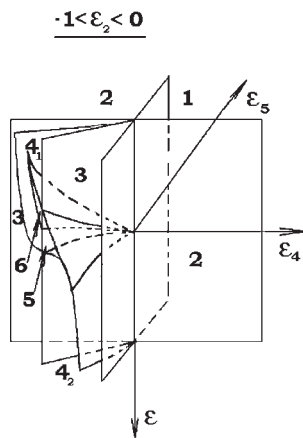


Рис. 3.4

В предельном случае  $c = 0$ , которому будет посвящена отдельная публикация, количество *bif*-раскладов существенно возрастает.

#### 4. Исключительный случай

В случае ортогональности градиентов ограничителей первой моде нарушается одно из основных условие: второй дифференциал вырождается на касательном к  $p^{-1}(\xi)$  пространстве. Поэтому возникает необходимость привлечения дополнительного ключевого параметра. В результате получаем угловую особенность [18]  $\xi_1^4 + \xi_2^2 + \xi_3^2, \xi_2 \geq 0, \xi_3 \geq 0$ .

Локальное (угловое) кольцо особенностей  $\hat{Q}(W)$ , равное фактору  $\mathcal{E}_0(\xi_1, \xi_2, \xi_3)/\hat{\mathfrak{N}}$ , где

$$\hat{\mathfrak{N}} = \left\{ \frac{\partial W_0}{\partial \xi_1}, \xi_2 \frac{\partial W_0}{\partial \xi_2}, \xi_3 \frac{\partial W_0}{\partial \xi_3} \right\}$$

— «угловой» якобиев идеал функции  $W$  в кольце ростков гладких функций в нуле  $\mathcal{E}_0(\xi_1, \xi_2, \xi_3)$ , в данном случае 12-мерно (контрактность данной (угловой) особенности равна 11), а ограниченная мономиальная миниверсальная деформация имеет следующий вид:

$$\begin{aligned} &\xi_1^4 + \xi_2^2 + \xi_3^2 + \lambda_1\xi_1 + \lambda_2\xi_2 + \lambda_3\xi_3 + \lambda_4\xi_1^2 + \\ &+ \lambda_5\xi_1\xi_2 + \lambda_6\xi_1^2\xi_2 + \lambda_7\xi_1\xi_3 + \lambda_8\xi_1^2\xi_3 + \\ &+ \lambda_9\xi_2\xi_3 + \lambda_{10}\xi_1\xi_2\xi_3 + \lambda_{11}\xi_1^2\xi_2\xi_3. \end{aligned}$$

Так как ключевая функция симметрична по первой переменной,  $(W(-\xi_1, \xi_2, \xi_3, \lambda) = W(\xi_1, \xi_2, \xi_3, \lambda))$ , то в этой деформации нужно отбросить «несимметричные» слагаемые (т.е. положить  $\lambda_1 = \lambda_5 = \lambda_7 = \lambda_{10} = 0$ ).

Ограничимся рассмотрением функции  $\hat{W} = W(\eta, \varepsilon_1, \varepsilon_2, \varepsilon_3, 0, 0, 0, 0)$ .

**Теорема 4.1.** Фредгольмов функционал с генотипом (в нуле)  $\eta_1^4 + \eta_2^2 + \eta_3^2, \eta_2 \geq 0, \eta_3 \geq 0$  (с симметрией четности по первой переменной), имеет *bif*-расклады, описываемые следующими матрицами:

$$\begin{pmatrix} 1 & 0 & 0 & 0 \\ 0 & 0 & 0 & 0 \\ 0 & 0 & 0 & 0 \\ 0 & 0 & 0 & 0 \end{pmatrix}, \begin{pmatrix} 0 & 1 & 0 & 0 \\ 1 & 0 & 0 & 0 \\ 0 & 0 & 0 & 0 \\ 1 & 0 & 0 & 0 \end{pmatrix}, \begin{pmatrix} 0 & 0 & 1 & 0 \\ 1 & 1 & 0 & 0 \\ 0 & 0 & 0 & 0 \\ 0 & 0 & 0 & 0 \end{pmatrix},$$

$$\begin{pmatrix} 0 & 1 & 0 & 0 \\ 0 & 1 & 0 & 0 \\ 1 & 0 & 0 & 0 \end{pmatrix}, \begin{pmatrix} 0 & 0 & 1 & 0 \\ 0 & 2 & 0 & 0 \\ 1 & 0 & 0 & 0 \end{pmatrix}, \begin{pmatrix} 2 & 1 & 0 & 0 \\ 0 & 0 & 0 & 0 \\ 0 & 0 & 0 & 0 \end{pmatrix}.$$

$$\begin{pmatrix} 0 & 2 & 1 & 0 \\ 2 & 1 & 0 & 0 \\ 0 & 0 & 0 & 0 \end{pmatrix}, \begin{pmatrix} 0 & 0 & 2 & 1 \\ 2 & 3 & 1 & 0 \\ 0 & 0 & 0 & 0 \end{pmatrix}, \begin{pmatrix} 0 & 2 & 1 & 0 \\ 0 & 2 & 1 & 0 \\ 2 & 1 & 0 & 0 \end{pmatrix},$$

$$\begin{pmatrix} 0 & 0 & 2 & 1 \\ 0 & 4 & 2 & 0 \\ 2 & 1 & 0 & 0 \end{pmatrix}.$$

Доказательство легко осуществляется простым перебором экстремалей на всех гранях угла.

**5. Бифуркации равновесных форм эйлерова стержня с двумя ограничителями**

Рассмотрим задачу о формах упругого равновесия плоского однородного продольно сжатого стержня с жестко закрепленными концами (один из концов прикреплен к подвижной платформе) и подчиненного двум связям в виде нелинейных интегральных неравенств

$$g_1(x) = \int_0^1 \sin x(t) dt \geq 0,$$

$$g_2(x) = -\int_0^{\frac{1}{2}} \sin x(t) dt \geq 0 \tag{5.28}$$

(интегральные ограничители).

«Общие» (некраевые) равновесные состояния описываются уравнением

$$\ddot{x} + \lambda \sin x = 0,$$

при краевых условиях

$$x(0) = x(1) = 0.$$

Здесь  $x = x(t)$  — угловая функция,  $t$  — параметр длины средней линии стержня,  $\lambda \in \mathbf{R}$  — параметр нагрузки. Пусть  $\tilde{e}_1(t) = \sqrt{2} \sin \pi t$  — первая мода прогиба.

Заметим, что  $g_1(x) = K(1), g_2(x) = -K(\frac{1}{2})$ , где

$$K(\alpha) = \int_0^\alpha \sin x(t) dt$$

— функция отклонения стержня от вертикали в точке, соответствующей  $t = \alpha$ . Функции  $g_k(t)$  симметричны относительно инволюций  $J_1 : x(t) \mapsto -x(t)$  (симметрия четности) и  $J_2 : x(t) \mapsto x(1-t)$  (отражательная симметрия):

$$g_1(J_1x) = -g_1(x), \quad g_2(J_1x) = -g_2(x),$$

$$g_1(J_2x) = g_1(x),$$

$$g_2(J_2x) = -\int_{\frac{1}{2}}^1 \sin x(t) dt = -(g_1(x) + g_2(x)).$$

Введем тройку пространств

$$E = \{x(t) \in W_2^2([0, 1], \mathbf{R}) : x(0) = x(1) = 0\},$$

$$F = H = L_2([0, 1], \mathbf{R}).$$

Отображение  $f : E \rightarrow F$ , где  $f(x, \lambda) = \ddot{x} + \lambda \sin x$ , является градиентом функционала энергии стержня

$$V(x, \lambda) = \int_0^1 \left( \frac{\dot{x}^2(t)}{2} + \lambda(\cos x(t) - 1) \right) dt. \tag{5.29}$$

Для изучения всех бифурцирующих из нуля равновесных состояний при  $\lambda < 4\pi^2$  необходимо рассмотреть две «угловые» моды, одна из которых совпадает с первым собственным вектором производной отображения  $f$  в нуле:  $e_1 = \tilde{e}_1$ , а вторая равна функции

$$e_2 = \begin{cases} \sqrt{\frac{1}{\pi(4-\pi)}}(1 - \cos \pi t - \sin \pi t), & 0 \leq t \leq \frac{1}{2}, \\ -\sqrt{\frac{1}{\pi(4-\pi)}}(1 + \cos \pi t - \sin \pi t), & \frac{1}{2} < t \leq 1. \end{cases} \tag{5.30}$$

(данная пара функций является ортонормированной в метрике  $\langle x, y \rangle_1 = \langle \bar{A}x, y \rangle_H$ ,  $\bar{A} = A + P$ ,  $A := -\frac{d^2}{dt^2} - \pi^2 I$ ,  $P(u+v) := u$ ,  $u \in \text{Ker } A$ ,  $v \perp \text{Ker } A$ ). Вторая мода, определенная с учетом соотношений

$$g_1(x) = \langle 1, x \rangle_H + o(\langle x \rangle_H^2),$$

$$g_2(x) = \left\langle -\theta\left(\frac{1}{2} - x\right), x \right\rangle_H + o(\langle x \rangle_H^2),$$

$$\langle \text{grad } g_1(x), \text{grad } g_2(x) \rangle_H = -\frac{1}{2} \neq 0$$

(здесь  $\theta$  — «ступенька»:  $\theta(x) = 1$  при  $x \geq 0$  и  $\theta(x) = 0$  при  $x < 0$ ), параллельна прообразу функции  $g(x) = \theta(x - \frac{1}{2}) - \theta(\frac{1}{2} - x)$  относительно оператора  $A$ .

Обратимся к ключевой функции

$$W(\xi, \lambda) := \inf_{g_1(x)=\xi_1, g_2(x)=\xi_2} V(x, \lambda), \tag{5.31}$$

гладко эквивалентной функции

$$V(\xi_1 e_1 + \xi_2 e_2 + u(\xi_1, \xi_2, \lambda), \lambda),$$

$$\xi = (\xi_1, \xi_2) \in \mathbf{R}^2, \quad u(\xi_1, \xi_2, \pi^2) = o(|\xi|^2),$$

$$u \in E_0 := E \cap \text{Lin}(e_1, e_2)^\perp$$

(в метрике  $\langle \cdot, \cdot \rangle_1$ ). Исходная задача сведется к экстремальной задаче на плоскости:

$$W(\xi, \lambda) \rightarrow \inf, \quad \xi_1 \geq 0, \quad \xi_2 \geq c\xi_1,$$

где  $c \geq 1$  (точность значения  $c$  здесь не играет важную роль).

**Теорема 5.1.** Для ключевой функции (5.31) имеет место следующее представление:

$$\begin{aligned} \frac{\pi^2}{16} \xi_1^4 + \xi_2^2 - \frac{\delta}{2} \xi_1^2 + o(\xi_1^4, \xi_2^2) + \\ + O(\delta)O(\xi_1^4, \xi_2^2) + o(\delta)O(\xi_1^2), \end{aligned} \quad (5.32)$$

$$\delta = \lambda - \pi^2.$$

**Доказательство.** Так как, по построению,

$$\frac{1}{2} \langle A(\lambda)x, x \rangle = -\frac{\delta}{2} \xi_1^2 + \xi_2^2 + \dots$$

$$(A(\lambda)x := -\frac{d^2}{dt^2} - \lambda I),$$

где многоточие означает совокупность слагаемых с асимптотикой

$$o(\xi_1^4, \xi_2^2) + O(\delta)O(\xi_1^4, \xi_2^2) + o(\delta)O(\xi_1^2),$$

и

$$\frac{1}{4!} \int_0^1 ((\xi_1 e_1 + \xi_2 e_2)^4 = \frac{\xi_1^4}{16} + \dots,$$

то автоматически получаем представление (5.32).

Замена переменных

$$\tilde{\xi}_1 = \xi_1, \quad \tilde{\xi}_2 = \xi_2 - c\xi_1$$

с последующим масштабированием

$$\eta_1 = v_1 \tilde{\xi}_1, \quad \eta_2 = v_2 \tilde{\xi}_2$$

приведет к функции с главной частью

$$\eta_1^4 + (\eta_2 + \frac{4}{\sqrt{4-\pi}} \eta_1)^2 - \frac{2\delta}{\pi} \eta_1^2. \quad (5.33)$$

Причем система ограничений в новых координатах приобретет следующую форму:

$$\eta_1 \geq 0, \quad \eta_2 \geq 0. \quad (5.34)$$

Угловая коразмерность особенности, определяемая как коразмерность фактор-кольца

$$\hat{Q}(W) = E_0(\eta_1, \eta_2) / \left\langle \eta_1 \frac{\partial W_0}{\partial \eta_1}, \eta_2 \frac{\partial W_0}{\partial \eta_2} \right\rangle,$$

в данном случае равна шести (напоминаем, что  $E_0(\eta_1, \eta_2)$  — кольцо ростков гладких функций в нуле,  $\langle \eta_1 \frac{\partial W_0}{\partial \eta_1}, \eta_2 \frac{\partial W_0}{\partial \eta_2} \rangle$  — «угловой» идеал, порожденный ростками первых производных). В данном случае «угловой» идеал порожден полиномами

$$2\eta_1^4 + c\eta_1\eta_2 + c^2\eta_1^2, \quad c\eta_1\eta_2 + \eta_2^2, \quad c = \frac{4}{\sqrt{4-\pi}}.$$

Базис в  $\hat{Q}(W)$  определяется в соответствии со стандартной алгебраической технологией [3].

Справедливо следующее утверждение.

**Теорема 5.2.** Деформация

$$\begin{aligned} \eta_1^4 + (\eta_2 + c\eta_1)^2 + \lambda_1\eta_1 + \lambda_2\eta_2 + \\ + \lambda_3\eta_1^2 + \lambda_4\eta_1\eta_2 + \lambda_5\eta_1^2\eta_2 \\ (= \eta_1^4 + \eta_2^2 + \lambda_1\eta_1 + \lambda_2\eta_2 + \\ + (c^2 + \lambda_3)\eta_1^2 + (2c + \lambda_4)\eta_1\eta_2 + \lambda_5\eta_1^2\eta_2). \end{aligned}$$

функции (5.33) при ограничениях (5.34) является версальной для особенности (угловой)  $\eta_1^4 + (\eta_2 + c\eta_1)^2$  в нуле.

Подход к анализу таких задач описан выше в разделе 3.

#### ЛИТЕРАТУРА

1. *Siersma D.* Singularities of functions on boundaries, corners, etc.// Quart. J. Math. Oxford Ser. 1981. 32, 125. P. 119—127.
2. *Арнольд В. И.* Критические точки функций на многообразии с краем, простые группы Ли  $B_k, C_k, F_4$  и особенности эволют. УМН. 1978. Т. 33, вып. 5(203). С. 91—105.
3. *Арнольд В.И., Варченко А.Н., Гусейн-Заде С.М.* Особенности дифференцируемых отображений. Классификация критических точек каустик и волновых фронтов. М.: Наука. 1982. 304 с. Особенности дифференцируемых отображений. Монодромия и асимптотики интегралов. М.: Наука. — 1984. — 336 с.
4. *Сапронов Ю.И.* Полурегулярные угловые особенности гладких функций// Матем. сборник. 1989. Т. 180, № 10. С. 1299—1310.
5. *Гнездилов А.В.* Бифуркации критических торов для функционалов с 3-круговой симметрией// Функци. анализ и его прил. 2000. Т. 34, вып. 1. С. 83—86.
6. *Красносельский М.А., Бобьлев Н.А., Мухамдиев Э.М.* Об одной схеме исследования вырожденных экстремалей функционалов классического вариационного исчисления// ДАН СССР. — 1978. — Т. 240, № 3. — С. 530—533.

7. Бобылев Н.А., Красносельский М.А. О бифуркации экстремалей вариационных задач// ДАН СССР. — 1990. — Т. 314, № 2. — С. 265—268.
8. Бобылев Н.А., Емельянов С.В., Коровин С.К. Геометрические методы в вариационных задачах. — М.: Магистр, 1998. — 658 с.
9. Сапронов Ю.И. Конечномерные редукции в гладких экстремальных задачах// Успехи мат. наук. 1996. Т. 51, вып. 6. С. 100—132.
10. Сапронов Ю.И., Швырёва О.В. Бифуркации экстремалей гладких функционалов с симметриями и ограничениями в форме интегральных и терминальных неравенств// Третий международный симпозиум по классической и небесной механике. Тез. докл., Великие Луки. 1998. С. 141.
11. Данилова О.Ю., Сапронов Ю.И., Швырёва О.В. Моды бифуркации в угловых критических точках// Труды математического факультета (новая серия) Воронеж: ВорГУ. 2002. — Вып. № 7. — С. 33—39.
12. Данилова О.Ю. Симметричные бифуркации экстремалей вблизи края банахова многообразия // Математические модели и операторные уравнения. — Воронеж: ВГУ, 2001. — С. 45—69.
13. Данилова О.Ю. Двухмодовые бифуркации решений уравнения Кармана при наличии интегрального полуограничения// Труды математического факультета. — Воронеж: Изд. ВГУ, 1999. — 122 с. — (Новая серия; № 4 (20)). — С. 41—50.
14. Данилова О.Ю. Редукции функционалов к возмущенным двумерным сборкам при наличии полуограничения// Сб. тр. молодых ученых матем. факультета ВГУ. — Воронеж: Изд-во ВГПУ, 2001. — С. 55—61.
15. Данилова О.Ю. Бифуркации экстремалей при наложении симметричных и краевых особенностей// Тр. матем. факультета ВГУ. — Воронеж: Изд-во ВГПУ, 2001. № 6 (новая серия). — С. 44—53.
16. Данилова О.Ю. Симметричные бифуркации экстремалей вблизи края банахова многообразия // Математические модели и операторные уравнения. — Воронеж: ВГУ, 2001. — С. 45—69.
17. Швырёва О.В. О краевых и угловых особенностях функционалов действия// Сб. тр. молодых ученых математического факультета ВГУ / Воронеж: Изд-во ВГПУ. 2001. — С. 144—149.
18. Швырёва О.В. О бифуркациях экстремалей из вершины симплектического угла// Тр. матем. факультета ВГУ. № 5 (новая серия). Воронеж: ВГУ, 2001. — С. 207—216.
19. Швырёва О.В. Каустики и *bif*-расклады для краевой экстремали с трехкратным вырождением вдоль края// Тр. матем. факультета (новая серия) Воронеж: ВГУ. 2002. Вып. 7. — С. 149—160.
20. Швырёва О.В. Бифуркации равновесных форм эйлера стержня при наличии двух полуограничений// Математические модели и операторные уравнения. Воронеж: ВГУ. 2003. Т. 2. — С. 147—159. (<http://www.main.vsu.ru/~matfak/events/mm02/index.html>).
21. Арнольд В.И., Козлов В.В., Нейштадт А.И. Математические аспекты классической и небесной механики// Современные проблемы математики. Фундаментальные направления. Т. 3. М., ВИНТИ. 1985. — С. 1—304.
22. Брюно А.Д. Ограниченная задача трех тел: Плоские периодические орбиты. М.: Наука, 1990. — 296 с.
23. Poénaru V. Singularités  $C^\infty$  en Présence de Symétrie / V. Poénaru// Lecture Notes in Mathematics. N.-Y.: Springer-Verlag, 1976. V. 510, Chapter II. — P. 61—89.